

## CHUYỂN ĐỘNG KIÉN TẠO HIỆN ĐẠI VÀ ĐỘNG ĐÁT, SÓNG THẦN Ở VÙNG BIỂN VIỆT NAM VÀ LÂN CẬN

Phan Trọng Trinh, Nguyễn Văn Hướng, Ngô Văn Liêm, Trần Dinh Tô,  
Võ Quốc Hải, Hoàng Quang Vinh, Bùi Văn Thư, Nguyễn Quang Xuyên,  
Nguyễn Việt Thuận, Bùi Thị Thảo

Viện Địa chất, Viện Khoa học và Công nghệ Việt Nam,

### Tóm tắt:

Báo cáo trình bày tốc độ chuyển dịch kiến tạo hiện đại Việt Nam và lân cận nhằm phân tích dữ liệu GPS trong các chu kỳ đo 2007-2010 của đài tài trọng điểm cấp nhà nước KC.09.11/06-10 "Nghiên cứu hoạt động kiến tạo trẻ, kiến tạo hiện đại và địa động lực Biển Đông Việt Nam làm cơ sở khoa học cho việc chế biến các tài nguyên biển quan trọng và để xuất các giải pháp phòng tránh" và đài tài trọng KC.09.11BS.06-10 "Nghiên cứu môi trường cơ tròn dầu và các biến đổi địa chất tự nhiên trên vùng biển Việt Nam". Chúng tôi đã xác định chuyển dịch và tốc độ chuyển dịch tuyệt đối của các điểm trong hệ tọa độ toàn cầu IGS05. Kết quả nhận được tram LANG (LANG) chuyển dịch về phía Đông với tốc độ ~39 mm/năm, chuyển dịch về phía Nam với tốc độ ~11 mm/năm. Tốc độ chuyển dịch của tram Bạch Long Vỹ (BLV1) về phía Đông là ~30 mm/năm đồng thời chuyển dịch về phía Nam với tốc độ ~11 mm/năm. Tram Song Tử Tây (STT1) chuyển dịch về phía Đông với tốc độ ~24 mm/năm và chuyển dịch về phía Nam với tốc độ ~8 mm/năm. Tốc độ chuyển dịch về phía Đông của tram Côn Đảo (CDA1) ~22 mm/năm và chuyển dịch về phía Nam ~6 mm/năm. Tốc độ chuyển dịch về phía Đông của trạm Đồng Hới (DOHO) là ~27 mm/năm và chuyển dịch về phía Nam là ~8 mm/năm. Tốc độ chuyển dịch về phía Đông của trạm Huế (HUES) ~30 mm/năm và chuyển dịch theo hướng Nam ~12 mm/năm. Tốc độ chuyển dịch về phía Đông của trạm Hồ Chí Minh (HOCM) ~22 mm/năm và chuyển dịch theo hướng Nam ~10 mm/năm. Sai số tính toán theo các phương pháp trong khoảng 0,6 - 1mm/năm.

Trên cơ sở nghiên cứu mực cắt địa chấn, cơ cấu chấn tiêu động đất, trường ứng suất khu vực, chúng tôi đã vạch ra được các đới đứt gãy Pliocen - Đệ Tứ trên Biển Đông Việt Nam. Trong phạm vi thềm lục địa Việt Nam, các đứt gãy phân thành các đoạn ngắn không kéo dài quá 15 km. Các đới đứt gãy có khả năng sinh chấn là đứt gãy trượt bằng không có khả năng gây ra sóng thần gần bờ. Đới cuộn chìm bắc Borneo không hoạt động trong giai đoạn hiện tại. Chỉ duy nhất có đới cuộn chìm Manila có khả năng phát sinh các trận động đất gây sóng thần ánh hưởng tới bờ biển và các đảo của Việt Nam. Phân tích dữ liệu trọng lực, đặc điểm địa hình, địa mạo, phân bố chấn tiêu động đất, phân bố cơ cấu chấn tiêu động đất và tốc độ chuyển dịch kiến tạo có thể phân ra 5 đoạn của đới cuộn chìm Manila. Chúng tôi đánh giá 2 đoạn của đới cuộn

chìm F3 và F4 có khả năng phát sinh động đất gây sóng thần với Magnitude 8.1 và 8.4. Mô phỏng sóng thần phát sinh liên quan dứt gãy F4 ở độ sâu chấn tiêu 15 km, chúng tôi đánh giá biên độ sóng thần cực đại 2 m tại Quang Ngãi. Độ sâu ngập lụt đạt cực đại 4-5 m tại một số nơi của Quang Ngãi, Đà Nẵng.

## THE MOVEMENT OF MODERN TECTONIC AND EARTHQUAKE, TSUNAMI IN VIETNAM SEA AND ADJACENT

**Phan Trong Trinh, Nguyen Van Huong, Ngo Van Liem, Tran Dinh To,  
Vu Quoc Hai, Hoang Quang Vinh, Bui Van Thom, Nguyen Quang Nguen,  
Nguyen Viet Thuan, Bui Thi Thao**

### Abstract:

This paper presents velocities of present-day tectonic movement in Vietnam and surroundings determined from GPS campaigns in 2007-2010. We determine absolute displacements and velocities of GPS stations in the IGS05 frame. The result indicates that Lang station (LANG) moves Eastward with slip rate of ~39 mm/yr. Southward with slip rate of ~11 mm/yr. The rate of Bach Long Vi (BLVI) is ~30 mm/yr for the Eastern component and ~11 mm/yr for Southern component. Song Tu Tay (STTI) moves Eastwards with the rate of ~24mm/yr and Southwards of 8 mm/yr. Con Dao (CDAI) moves to the East with the rate of ~22mm/yr and to the South with the rate of ~6 mm/yr. Dong Hoi (DOHO) moves to the East with the rate of ~27 mm/yr and to the South with the rate of ~8 mm/yr. Hue (HUES) moves to the East with the rate of ~30 mm/yr and to the South with the rate of ~12 mm/yr. HOCM moves to the East with the rate of ~22 mm/yr and to the South with the rate of ~10 mm/yr. Calculate errors for both direction vary in 0.6 - 1 mm/yr.

Based on seismic profiles, focal mechanisms and regional stress field, we make in evidence of several fault segments in Pliocene - Quaternary sediments in East Vietnam Sea. These fault segments are located in Red river, Cui long and Nam Con Son basins of maximum of 15 km long. Actual stress regime in Vietnam and South Hai Nam basins being transitional demonstrate there is no source of large tsunami closing to Vietnam shelf. The subduction zone located at North Borneo is not active in present. There is only Manila subduction zone which is the source for large tsunami in East Vietnam Sea. Based on gravimetric field, topography, distribution of focal mechanisms in various depths and the rate of actual tectonic movement, we devise Manila subduction zone into 5 fault zones. The fault zones F3 and F4 can produce respectively maximum earthquake of 8.1 and 8.4. Modeling of displacement of fault zone F4 from the depth 15 to 20 km, we get 2m high of tsunami at Quang Ngai, Da

*also estimate the 4-5 m depth of Tsunami flood at some places in Quang Ngai, Da Nang.*

## Mở đầu

Biển Đông Việt Nam được xem là biển ria thuộc vành đai Tây Thái Bình Dương. Rìa Đông của Biển Đông Việt Nam khá phức tạp với hai dải hút chìm cắm ngược hướng, trong đó dải hút chìm chạy dọc mảng Manilla có hướng cắm về phía Đông trong khi một dải hút chìm khác chạy dọc rìa Đông Philipin có hướng cắm về phía Tây. Về phía Nain, mảng Án - Úc hiện đang cắm xuống mảng Âu - Á dọc theo dải hút chìm Sunda với tốc độ 6-7 cm/năm. Phân bố chấn tiêu động đất chính và du chấn theo mặt cắt cũng phản ánh hướng cắm của mảng Án - Úc chui xuống dưới mảng Âu - Á. Những trận động đất lớn nhất trên thế giới thường xảy ra tại ranh giới hội tụ của hai mảng, nơi có sự xiết ép mạnh mẽ. Trong 10 trận động đất lớn nhất trong thời gian gần đây, 9 trận động đất trước đều gắn liền với hoạt động xiết ép của dải hút chìm ở rìa biển Thái Bình Dương. Trận động đất tại Sumatra cũng không ngoại lệ và liên quan đến hoạt động xiết ép của dải hút chìm Sunda giữa mảng Án - Úc và mảng Âu - Á. Phần lớn vùng Đông Nam Á hiện nay gồm Việt Nam, Lào, Campuchia, Thái Lan, bán đảo Malaisia, Sumatra, Borneo, Java và hầu như toàn bộ Biển Đông Việt Nam được bao quanh bởi các dải cuốn chìm, gồm mảng Philipin, mảng Úc, mảng Án độ được xếp vào khối Sunda. Về phía Bắc khối Sunda bị bao bởi phần đông nam của dải dung độ Án Độ - Âu Á và Biển Đông. Hầu hết các trận động đất đều phân bố trong dải cuốn chìm và dải dung độ. Bên trong dải Sunda chỉ có những trận động đất yếu và độ sâu chấn tiêu rất nông. Điều đó cho thấy khối Sunda tồn tại như một khối thạch quyền cứng, mặc dù nguồn gốc địa chất của nó không đồng nhất.

Trải qua 3 thập kỷ, nhiều mô hình về biến dạng thạch quyền đã được đề xuất. Có thể chia ra 2 luận điểm chính. Luận điểm thứ nhất, cho rằng biến dạng thạch quyền tuân theo qui luật chảy nhót trong môi trường liên tục (England và Houseman, 1986). Luận điểm thứ 2 là chuyên dịch của khối thạch quyền cứng dọc theo các dải đứt gãy hạch (Tapponnier và nnk., 1982). Việc xác định chính xác chuyên dịch cho phép hiểu rõ hơn các mô hình này hoặc cho phép hiệu chỉnh các mô hình trên.

Trong bài viết này, chúng tôi trình bày kết quả mới do GPS bốn chu kỳ 2007-2008-2009-2010 trên Biển Đông Việt Nam, đồng thời tổng hợp các kết quả nghiên cứu trước đây của các tác giả khác nhau về chuyên dịch kiến tạo hiện đại có tính tới kết quả mới nhất do chuyên dịch kiến tạo hiện đại trong khuôn khổ đề tài trọng điểm KC09.11/06-10 và KC09.11BS.06-10. Với mục đích chính làm sáng tỏ quá trình chuyên dịch kiến tạo hiện đại trên Biển Đông Việt Nam, bài viết còn đánh giá mức độ biến dạng của dải đứt gãy Manilla, đứt gãy bắc Borneo, đứt gãy kinh tuyến 110, là những đứt gãy có khả năng sinh chấn cao nhất trên Biển Đông Việt Nam.

Để nghiên cứu cảnh báo động đất và sóng thần thi vẫn đề quan trọng bậc nhất là xác định được các nguồn phát sinh động đất gãy sóng thần cũng như độ lớn của chúng, từ đó mới có quyết định về phòng tránh giảm nhẹ thiệt hại do động đất và sóng thần gãy ra. Nguồn phát sinh động đất, sóng thần và mức độ của chúng được xác định với độ tin cậy cao nhờ các nghiên cứu về kiến tạo trẻ và kiến tạo hiện đại. Chúng ta cần phải trả lời các

câu hỏi sau: Những đứt gãy nào trên Biển Đông Việt Nam còn dấu hiệu hoạt động trong giai đoạn hiện đại? Nếu còn hoạt động thì quy mô, cường độ và diện phân bố của chúng ra sao? Động đất cực đại nếu có là bao nhiêu? Từ đó, đánh giá biến độ sóng cực đại và độ cao ngập lụt tại các vùng, làm cơ sở khoa học cho đề xuất các giải pháp giảm thiểu và phòng tránh.

### Kết quả xác định tốc độ chuyển dịch kiến tạo hiện đại trên Biển Đông Việt Nam

Để xác định được tốc độ chuyển dịch kiến tạo hiện đại, các phương pháp trắc địa truyền thống từng được sử dụng như phương pháp do thuỷ chuẩn và phương pháp tam giác đặc. Chúng tôi đã tiến hành đo 3 đợt tại các trạm Láng, Bạch Long Vĩ, Song Tử Tây, Côn Đảo, Đồng Hới, Huế, Hồ Chí Minh trong 3 năm 2007, 2008 và 2009. Tại mỗi đợt đo, chúng tôi đã tiến hành đo liên tục 7 ca, mỗi ca 23 giờ 40 phút. Cơ sở dữ liệu được sử dụng trong tính toán này, ngoài dữ liệu của trạm GPS Láng (LANG) (Ngô Văn Liêm, và nnk., 2008), Bạch Long Vĩ (BL.VI), Song Tử Tây (STT1), Côn Đảo (CDAL1), Huế (HUES), Đồng Hới (DOIO), Hồ Chí Minh (HOCM), chúng tôi sử dụng dữ liệu đo liên tục của 6 trạm IGS (COCO, NTUS, PIMO, BAKO, KUNM, WUHN) làm trạm tham chiếu. Các dữ liệu của tổ chức GPS quốc tế phục vụ địa động lực (IGS) như lịch vệ tinh chính xác, mô hình tảng điện ly, các tệp hiệu chỉnh giữa P1-C1, P1-P2 đối với vệ tinh và máy thu, tọa độ tัng như vận tốc chuyển dịch của các trạm IGS trong hệ quy chiếu toàn cầu IGS05 đã được sử dụng trong tính toán. Khoảng cách gần nhất giữa hai trạm là 223 km (Láng - Bạch Long Vĩ).

Sử dụng hệ tọa độ toàn cầu IGS05, với tốc độ đã biết của các trạm IGS: COCO, NTUS, PIMO, BAKO, KUNM và WUHN, chúng ta có thể tính được chuyển dịch tuyệt đối của các trạm đó. Các kết quả tính theo các phần mềm khác nhau và được 4 nhóm tính toán độc lập được thể hiện ở bảng 1. Với tính toán trên BERNSE 4.2, giả thiết các giá trị chuyển dịch tại các điểm IGS coi như đã biết, sai số coi như bằng không. Nói cách khác trong quá trình tính toán các điểm IGS coi như cố định với tốc độ đã biết. Các chuyển dịch tháng đứng tại các điểm coi như bằng không. Sai số sẽ dồn hết cho các điểm cần tính như BLVI, LANG, STT1, v.v..

Các tính toán trên GAMIT và trên BERNSE 5.0 của Viện Địa chất (VDC) và Viện Địa chất và Hạt nhân New Zealand (GNS) đều dân sai số cho cả các trạm IGS và các trạm do tại Việt Nam. Nói cách khác tại các điểm do IGS khớp nối với các trạm do Việt Nam theo "Constraint" chứ không phải khớp cố định (Fixed) (bảng 1). Mỗi điểm do được lần lượt trình bày kết quả tính theo phần mềm GAMIT, BERNSE 5.0 do Viện Địa chất và Hạt nhân New Zealand thực hiện (GNS), BERNSE 5.0 do Viện Địa chất-Viện Khoa học và Công nghệ Việt Nam thực hiện (VDC). Kết quả này có sai lệch nhẹ với kết quả sơ bộ trước đây, có bổ sung thêm số liệu của các trạm Đồng Hới, Huế và Hồ Chí Minh (Phan Trọng Trịnh và nnk., 2009).

### Chuyển dịch kiến tạo hiện đại trong khối Sunda

Nghiên cứu về khu vực nam và đông nam Châu Á, đề án GEODYSEA (Geodynamics of South and South - Earth Asia) thông qua 3 chu kỳ do 1994, 1996 và 1998 đã xác định được tốc độ và hướng chuyển dịch tuyệt đối của vỏ Trái đất trong khu vực này với sai số 4-7 mm theo chiều ngang và 10 mm theo theo chiều đứng (Michel và nnk., 2001). Tiếp tục

chương trình GEODYSSSEA là chương trình hợp tác giữa Châu Âu và ASEAN "Southeast Asia: Mastering Environmental Research with Geodetic Space Techniques" (SEAMERGES) với sự tham gia của các nước Châu Âu với Nhật, Indonesia, Malaysia, Thái Lan với hơn 100 điểm đo, sự mở rộng phạm vi nghiên cứu. Trung Quốc đã thiết lập mạng lưới quan trắc chuyên dịch vỏ trái đất từ 1997 trong chương trình "Crustal Movement Observation Network of China" (CMONOC) với 27 trạm đo liên tục và 1100 điểm đo không liên tục. Các đợt đo 1999, 2001 và 2004 cho thấy biến dạng trên cao nguyên Tây Tạng, các ria của nó, dải Hymalaya và Altyn Tagh đã hấp thụ 90% chuyên dịch tương đối giữa mảng Án Úc và mảng Châu Á (Zhang và nnk, 2004; Niu và nnk, 2005; Shen và nnk, 2005; Gan và nnk, 2007). Ở rìa Đông của cao nguyên Tây Tạng, chuyên dịch về phía Đông về rìa Tây của Tứ Xuyên trong khi ở bắc Vân Nam, chuyên dịch về đông nam trong khi ở nam Vân Nam chuyên dịch chuyển thành nam-dông nam. Tại mảng Biển Đông, tốc độ chuyên dịch về phía Đông trong khoảng 6-10mm/năm (Zhang và nnk, 2004). Trận động đất xảy ra ở Tứ Xuyên ngày 12 tháng 5 năm 2008 với magnitude 7.9 là kết quả hấp thụ của chuyên dịch về phía Đông qua ranh giới dứt gãy chìm nghịch ở rìa Tây Tứ Xuyên.

Đáng chú ý là kết quả của các nhà trắc địa của các nước Châu Á, Thái Bình Dương, "Permanent Committee for GIS Infrastructure for Asia and the Pacific" (PCGIAP) (Dawson và nnk, 2004). Hợp tác 11 nước trong đó có Úc, Newzeland, Hàn Quốc, Lào, Thái Lan, Việt Nam,... và cơ quan trắc địa quốc tế IGS đã tiến hành đo tại 433 điểm từ 1997, 1998, 1999, 2000, 2001, 2002. Phía Việt Nam tham gia đo 4 điểm tại Điện Biên, Đèo Sơn, Đà Nẵng và Vũng Tàu.

Chúng ta đã có thể rút ra một số nhận xét về đặc điểm biến dạng của Biển Đông Việt Nam:

- Sự suy giảm tốc độ chuyên dịch theo hướng từ tây sang đông của các trạm đo GPS phía Bắc (Láng, Bạch Long Vĩ, Hải Nam) cho thấy hiện nay vịnh Bắc Bộ bị biến dạng nén và chịu xiết ép theo phương á-vĩ tuyến hoặc lệch một chút về phía Đông Đông Nam. Trường lực này không thuận lợi cho hệ thống dứt gãy dang hoat động tách dần phương á-kinh tuyến và cũng không thuận lợi cho các dứt gãy trượt băng phương Tây Bắc - Đông Nam. Các hướng chính và giá trị chính của trục ứng suất - biến dạng sẽ được chúng tôi chính xác hoá ở các chu kỳ do sau. Theo tính toán sơ bộ của chúng tôi, tốc độ biến dạng nén tinh từ trạm Láng tới trạm Bạch Long Vĩ đạt giá trị xấp xỉ  $10^{-8}$ /năm ( $\sim 10$  nano biến dạng/năm).

- Phía Bắc Biển Đông đang dóng lại theo phương Tây Tây Bắc - Đông Đông Nam với tốc độ cỡ 77 mm/năm. Hướng của vec tơ chuyên dịch tại Láng, Bạch Long Vĩ, Hải Nam, Hoàng Sa hầu như ngược với hướng vec tơ chuyên dịch ở PIMO, phản ánh hướng chuyên dịch của mảng Bắc Biển Đông cắm dưới Philippine tại mảng trung Malina về phía Đông Đông Nam. Sự dóng lại của Biển Đông Việt Nam theo dõi cuồn chìm Manila có tốc độ không đều nhau phía Bắc đảo Luzon tốc độ chuyên dịch về phía Tây Bắc là lớn nhất sau giảm nhanh về phía Đông Nam. Điều đó chứng tỏ hoạt động của dời cuồn chìm Manila, ranh giới phía Đông Bắc của khồi Sunda khá phức tạp. Đây là bằng chứng nói lên tính phân đoạn của dời cuồn chìm Manila.

- Các trạm đo GPS phía Nam (Song Tử Tây, Côn Đảo) có hướng chuyên dịch về phía Đông nam cho thấy chế độ địa động lực σ phía Nam Biển Đông Việt Nam đã thay đổi so

với phần phía Bắc Biển Đông Việt Nam, tốc độ chuyển dịch ngang nhỏ hơn ở phía Bắc Biển Đông Việt Nam ở phần phía Nam không bị đóng lại. Tốc độ biến dạng nhỏ hơn phía Bắc Biển Đông Việt Nam.

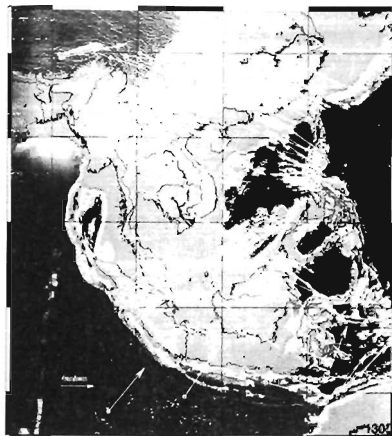
- So sánh các vectơ chuyển dịch ở Thái Lan, Vũng Tàu, Malaysia và Palawan, thì vectơ chuyển dịch ở Côn Đảo và Song Tử Tây có nhỏ hơn và hơi lệch về phía Đông nam. Nhìn chung, vùng nam và Tây Nam Biển Đông Việt Nam hầu như không bị biến dạng lớn. Với kết quả đo tại Côn Đảo, Hồ Chí Minh và Song Tử Tây, đối sánh với kết quả đo ở Palawan trong các đề án GEODYSSSEA và PCGIAP thì không thấy sự xuất hiện xảy ra ở Bắc Borneo. Kết quả này trái ngược với kết quả của (Simons, 2007). Khi cố định khối Sunda - mons đã tính chuyển dịch tại một số trạm do bắc Borneo có hướng quay về tây bắc hoặc tây tây bắc, từ đó tác giả giả định rằng có một phân ranh giới của khối Sunda đi qua rìa phía Bắc của Borneo. Theo chúng tôi ranh giới của khối Sunda dịch về phía Nam của Borneo vì thực tế có sự thay đổi rất lớn về tốc độ chuyển dịch tại đây, lớn hơn rất nhiều so với thay đổi tốc độ ở rìa bắc Borneo với khối Sunda.

- So sánh các vectơ chuyển dịch tại DOHO, CDA1, STT1 thì có thể thấy biến động rất nhỏ, điều đó chứng tỏ nếu đứt gãy 110 đang hoạt động thì tốc độ chuyển dịch sẽ nhỏ. Chúng tôi sẽ chính xác hóa tốc độ tối đa của đứt gãy này trong những đợt đo tiếp theo.

Bảng 1 Bảng tổng hợp kết quả tính toán tốc độ chuyển động tương đối bởi các phần mềm khác nhau với sự cố định của trạm STT1 (2007-2010)

TT	Tên trạm GPS	Phần mềm xử lý	Tốc độ chuyển dịch về phía Bắc		Tốc độ chuyển dịch về phía Đông		Tốc độ chuyển dịch thẳng đứng (tham khảo)	
			Giá trị (mm/năm)	sai số (mm/năm)	Giá trị (mm/năm)	sai số (mm/năm)	Giá trị (mm/năm)	sai số (mm/năm)
1	BLVI	GAMMIT	-3.91	1.76	9.89	1.88	9.92	2.66
		BERNESE 5.0	-4.60	0.20	9.30	0.50	2.30	0.90
2	IANG	GAMMIT	-4.45	1.79	19.41	1.91	1.51	2.79
		BERNESE 5.0	-4.60	0.20	20.10	0.50	-8.80	0.90
3	DOHO	GAMMIT	-0.66	1.77	6.30	1.89	4.15	2.93
		BERNESE 5.0	-0.90	0.20	7.90	0.50	-2.80	0.90
4	HUES	GAMMIT	-7.63	1.78	10.95	1.98	15.41	3.32
		BERNESE 5.0	-5.10	0.20	8.40	0.40	3.20	0.80
5	STT1	GAMMIT	0.00	0.00	0.00	0.00	0.00	0.00
		BERNESE 5.0	0.00	0.00	0.00	0.00	0.00	0.00
6	CDA1	GAMMIT	0.02	1.75	1.04	1.82	2.4	2.64
		BERNESE 5.0	1.20	0.20	0.70	0.50	-3.10	1.00

7	HOCM	GAMMIT	-4.20	1.78	1.31	1.92	2.91	3.39
		BERNESE 5.0	-3.50	0.20	1.90	0.60	-4.20	1.00



Hình 1: So đồ tổng hợp các vec tơ vận tốc chuyên động kiến tạo hiện đại theo kết quả đo của chương trình GEODYSSEA, chương trình PCGIAP, chương trình SEAMERGES, chương trình CMONOC, Beavan và nnk., 2004, Bock và nnk., 2003, Chamote-Rooke, 1999, Dawson và nnk., 2004, Gan và nnk., 2007, Galgana và nnk., 2007, Iwakuni và nnk., 2004, Michel và nnk., 2001, Shen và nnk., 2005, Simos và nnk., 2007, Socquet và nnk., 2006, Rangin và nnk., 1999, Zhang và nnk., 2004 và kết quả đo GPS của tập thể tác giả bài báo này.

- Biển dạng giữa các mảng và trong mảng ở Đông Nam Á được thể hiện như trên hình 1. Từ phân tích tốc độ tensor biển dạng, có thể xác định được vùng có tốc độ biển dạng rất nhỏ dưới 7 nano biển dạng/năm, thể hiện vùng không biển dạng bên trong khồi Sunda. Ranh giới được chính xác hoá và tóm tắt như sau: Về phía Tây, khồi Sunda được bao bởi đứt gãy r undercut bằng phai, xác định rõ ràng hướng của tensor biển dạng. Nó kéo dài từ Myanmar tới Sumatra dọc theo đứt gãy Sagaing, hệ thống pull-apart Andaman. Về phía Nam Java, khồi bị giới hạn bởi mảng nước sâu Java. Tuy nhiên vòng cung đảo Java chịu biến dạng rất lớn và gắn liền với động đất, gắn đây vừa xảy ra trận động đất Yogakarta năm 2006. Nếu như đứt gãy đang hoạt động đó được khẳng định thì chi phần tây của Java là thuộc về Sunda và đứt gãy r undercut bằng, hướng về Đông Bắc được coi là của Sunda (hoặc thềm Sunda). Tốc độ biến dạng cao giữa Borneo và Sulawesi với mật độ GPS rất cao, theo chúng tôi ranh giới mảng Sunda sẽ đi qua đường phân cắt giữa Borneo và Sulawesi. Biển dạng tiếp tục tới rìa Đông giữa vĩ tuyến  $10^{\circ}\text{N}$  và  $5^{\circ}\text{N}$ , bắc Sulawesi, dời Philipin. Rìa Đông của Sunda là 3 mảng biển sâu vòng cung đảo Philipin Cotabato, Negros và trũng Manilla. Về phía Bắc, ranh giới của Sunda khó có thể xác định nhờ phân tích tốc độ biến dạng:

Biển Đông Việt Nam hầu như không biến dạng và khỏi Biển Đông biến dạng rất yếu. Mặc dù trong khói Biển Đông, không có dấu hiệu biến dạng nhưng nó có ranh giới về phía Tây là dứt gãy Longmenshan và dứt gãy Xiaojiang. Dọc theo dứt dứt gãy này, là một dải biến dạng mạnh gây ra độ dốc độ giữa mảng Án Úc và mảng Âu Á, chuyên dịch từ Tây Tạng theo chiều kim đồng hồ, quanh dãy Himalaya. Biển đang này mở rộng sang Malaysia và thề hiện ở bắc Thái Lan bởi tách giãn đông - tây. Tốc độ biến dạng tăng cao ở tây bắc Thái Lan khẳng định ranh giới Bắc của Sunda nằm gần Myanmar. Về phía Đông Bắc, phần Tây Nam của dứt gãy Sông Hồng (Leloup và nnk, 1995), biến dạng tương thích với chuyên dịch trượt bằng phái. Tuy nhiên tốc độ biến dạng qua ranh giới mảng này rất nhỏ trong giai đoạn hiện tại. Tại điểm này, chỉ sử dụng phân tích biến dạng từ mạng lưới lớn rất khó có thể kết luận khỏi Biển Đông và Sunda có khác nhau về chuyên dịch hay không (Simons, 2007).

### CÁC ĐỐI SINH CHÂN CHÍNH TRÊN BIỂN ĐÔNG VÀ KẾ CẬM

**Dánh giá địa chấn kiến tạo dựa trên kích thước của các đứt gãy đang hoạt động**



CHỦ GIẢI	TÊN KHU VỰC	DỘNG ĐẤT	MÃ
Đứt gãy Hanning - Hanning	Hanning	Mw > 8.0	Mw 6.0 - 6.9
Đứt gãy Lai Chau	Lai Chau	Mw > 8.0	Nghịch
Đứt gãy Lai Chau - Hanning	Lai Chau - Hanning	Mw 7.0 - 7.9	Mw 5.0 - 5.9
Đứt gãy Lai Chau - Lai Chau	Lai Chau	Mw 7.0 - 7.9	Thrust
Đứt gãy Lai Chau - Lai Chau	Lai Chau	Mw 7.0 - 7.9	Trượt
Đứt gãy Lai Chau - Lai Chau	Lai Chau	Mw 7.0 - 7.9	Trượt bằng
Đứt gãy Lai Chau - Lai Chau	Lai Chau	Mw 7.0 - 7.9	M=5

Hình 2. Phân bố các đứt gãy trẻ và động đất khu vực Biển Đông Việt Nam và kế cận

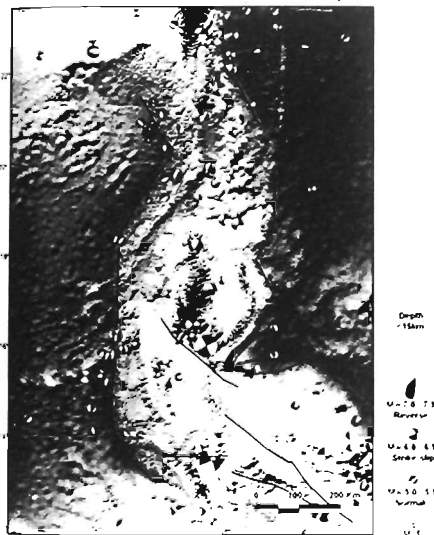
Trên cơ sở nghiên cứu hàng chục nghìn km mặt cắt địa chấn bao gồm mặt cắt địa chấn 2 chiều từ công tác thăm dò dầu khí tới mặt cắt địa chấn nông phân giải cao, hàng nghìn chấn tiêu động đất, hàng trăm cơ cấu chấn tiêu động đất, trường ứng suất khu vực, chúng tôi đã vạch ra được các dứt gãy sinh chấn trên Biển Đông Việt Nam (hình 2). Các đường đứt gãy gần bờ biển Việt Nam phần lớn là các đứt gãy ngắn, rời rạc. Chúng tôi nhận thấy dứt gãy ria Tây Biển Đông Việt Nam (đứt gãy 110) không phải là đường đứt gãy kéo dài liên tục hàng trăm km mà chỉ phân thành những đoạn đứt gãy, phương bắc tây bắc, không kéo dài liên tục, thậm chí nhiều đoạn dài không có biểu hiện của đứt gãy gây chuyên dịch trầm tích Pliocene - Đệ tứ. Trên các bồn Cửu Long, Nam

Côn Sơn có thể phát hiện hàng loạt các đứt gãy có biều hiện hoạt động trong Pliocen - Đệ Tứ. Đó là các đứt gãy thuận, phân thành các đoạn ngắn thường không kéo dài quá 15 km.

Đời đứt gãy sinh chấn lớn nhất trên Biển Đông Việt Nam và kế cận là đời cuồn chìm Manila với chiều dài tổng cộng hơn 900 km. Đời đứt gãy bắc Borneo trước đây được xem như là một đời cuồn chìm hiện đại (Simons và nnk., 2007). Dọc theo rìa phía Tây Biển Đông Việt Nam, đời đứt gãy dọc kinh tuyến 110 luôn được xem là đứt gãy đang hoạt động và có khả năng gây ra động đất lớn nhất trên vùng biển Việt Nam. Nhìn chung, có thể nhận thấy đời cuồn chìm Manila có khả năng phát sinh động đất lớn nhất. Động đất xảy ra ở đời cuồn chìm có khả năng gây ra sóng thần, ảnh hưởng tới bờ biển Việt Nam. Điểm mới trong

nghiên cứu này là chúng tôi nhận thấy tính phân đoạn của đời cuồn chìm Manila vi thế đánh giá động đất cực đại cần dựa trên tính phân đoạn của đời cuồn chìm này. Chúng tôi cũng nhận thấy không có sự tồn tại đời cuồn chìm bắc Borneo do tốc độ chuyển dịch kiến tạo hiện đại ở bờ biển Việt Nam, Côn Đảo trùng với tốc độ và chuyển động kiến tạo hiện đại ở Bắc Borneo (Phan Trọng Trinh và nnk.) nên không có khả năng phát sinh động đất gây ra sóng thần ở khu vực này.

Chúng tôi cũng nhận thấy đời đứt gãy dọc kinh tuyến 110, từng tồn tại như một đời đứt gãy trượt băng trong Paleogen và



Miocen nhưng biều hiện hoạt động trong Pliocen - Đệ Tứ rất yếu ớt. Điều này có vẻ màu thuần túy quan sát địa mạo vì dọc theo đời đứt gãy này là một vách kiến tạo rất rõ rệt. Trong bể trũng Sông Hồng, Bể Cửu Long và Bể Nam Côn Sơn, chúng tôi đã quan sát được nhiều chấn đoạn đứt gãy, có biều hiện là những đoạn đứt gãy rời rạc với chiều dài không vượt quá 15 km. Hệ đứt gãy tây Philippine có đặc điểm không liên tục, chúng được

chia thành nhiều chấn đoạn có kích thước khác nhau bắt đầu từ Tây Nam đảo Đài Loan tới chạy theo phía Tây Philipin, áp gần sát và quần đảo Luzon ở khoang vỹ tuyến 16. Có thể nhận thấy dải cuồn chim Manila không kéo dài liên tục từ Đài Loan tới Tây Nam đảo Luzon mà có thể phân thành các đoạn khác nhau. Cơ sở cho việc phân đoạn đó là dựa trên nhiều nguồn số liệu khác nhau: địa hình, địa mạo, trường trọng lực, góc cắm của dải cuồn chim, phân bố chấn tiêu động đất, cơ cấu chấn tiêu động đất, trường ứng suất theo độ sâu, tốc độ chuyển dịch. Về mặt địa hình, dải cuồn chim Manila có phương của mảng biển sâu thay đổi chuyển từ phương tây bắc đông nam ở rìa Tây Đài Loan sang phương Đông Bắc Tây Nam rồi lại chuyển sang phương bắc-nam rồi lại chuyển sang phương tây bắc đông nam. Trước hết là thường trọng lực free air thể hiện rất khác nhau dọc theo các đoạn F1, F2, F3, F4 và F5. Độ sâu của từng mảng biển sâu cũng khác nhau, trong đó các đoạn sâu nhất là đoạn F5. Đặc điểm địa mạo của từng đoạn cũng có sự khác biệt. Các đoạn của dải cuồn chim cũng có thể phân biệt dễ dàng nhờ góc cắm của dải cuồn chim. Các đoạn trên còn có thể phân biệt rất rõ ràng đặc điểm phân bố cơ cấu chấn tiêu, phản ánh trạng thái ứng suất biến lão theo độ sâu khác nhau. Ở độ sâu nhỏ hơn 30 km, ta nhận thấy cơ cấu chấn tiêu phản ánh trạng thái tách giãn phân bố dọc theo dải F2 về phía hướng cắm, trong khi dò dải với đoạn F1 thì lại phân bố ngược với hướng cắm. Đoạn F3 hầu như vắng mặt các trận động đất trạng thái ứng suất tách giãn. Dâng lưu ý phần lớn các cơ cấu chấn tiêu phản ánh trạng thái viet ép tập trung ở dải F4 ứng với độ sâu nhỏ hơn 15 km. Ở độ sâu dưới 15 km, chỉ quan sát thấy 1 cơ cấu chấn tiêu trượt băng gần với dải F5, có lẽ không liên quan tới hoạt động của dải này.

### **Động đất cực đại**

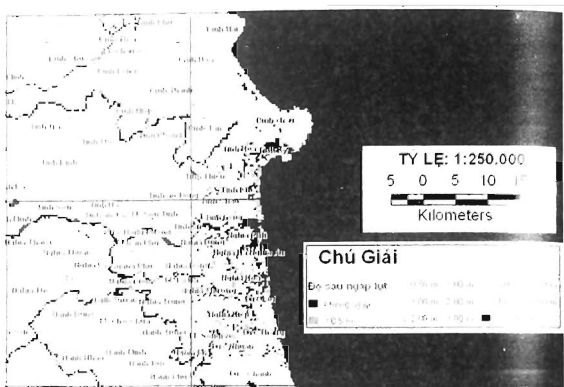
Ở những vùng có mật độ động đất cao hoặc những dải sinh chấn có tốc độ biến dạng lớn, nguy hiểm động đất thường được đánh giá bởi mô hình xác suất từ số liệu của các động đất lịch sử và ghi được bằng máy. Phương pháp trên tỏ ra kém hiệu quả khi thời gian ghi quá ngắn và trên những vùng có chu kỳ lặp động đất lâu dài. Khi đó, người ta có thể đánh giá nguy hiểm động đất bằng phương pháp địa chấn kiểm tạo kết hợp với phân tích xác suất trong việc dự báo nguy hiểm động đất cho từng vị trí hay từng vùng nhất định. Độ chính xác của đánh giá nguy hiểm động đất phụ thuộc rất lớn vào việc hiểu biết chế độ địa động lực ở qui mô khác nhau ở vùng nghiên cứu. Biên độ chuyển dịch, tính phân đoạn, mức độ hoạt động của mỗi đứt gãy sẽ được đánh giá từ cự li chuyển dịch của các đặc trưng địa mạo và địa chất. Động đất cực đại (MCE) là giá trị đặc trưng của nguồn động đất tức là khả năng xuất hiện một trận động đất lớn nhất dọc một đoạn đứt gãy nào đó. Trong nghiên cứu của chúng tôi ở đây có sử dụng các phương pháp tính magnitude cực đại từ diện tích mặt đứt gãy của Well-Coppersmith, Wyss, Woodward-Clyde và tính từ Mômen động đất. Phương pháp moment động đất chiếm tỉ trọng cao so với các phương pháp khác do mang ý nghĩa vật lý cao nhất.

Bảng 2: Dòng đất cực đại gây ra bởi F4 của đợt cuốn chim Phillipin

Phương pháp	Magnitude
Magnitude theo Slemmons, 1982 cho chiều dài dứt gãy:	8.2
Magnitude theo Well-coppersmith cho chiều dài dứt gãy:	8.0
Magnitude theo Well-coppersmith cho mặt dứt gãy:	8.3
Magnitude theo Wyss, 1979 cho mặt dứt gãy:	8.6
Magnitude theo Woodward-clyde, 1983 cho mặt dứt gãy:	8.6
Magnitude theo moment động đất, Hanks- Kanamori:	8.3
Chuyển dịch (m) dự đoán theo Slemmons, 1982:	11.9
Tốc độ (mm) dự đoán theo Woodward-clyde, 1983:	13.16
Chuyển dịch cực đại (m) theo Well-Coppersmith, 1994:	3.7
Chuyển dịch trung bình (m) theo Well-Coppersmith, 1994:	0.84

Quá trình tính toán là quá trình lặp. Bước khởi đầu ước lượng biên độ chuyển dịch cực đại dựa trên kết quả đánh giá động đất cực đại bằng các phương pháp khác nhau để xác định moment động đất, sau khi lấy trung bình trọng số và sai số chuẩn lại suy ra biên độ chuyển dịch nhờ công thức của Well - Coppersmith. Ở bước thứ hai cho phép xác định động đất cực đại bằng phương pháp moment động đất và cứ thế lặp lại cho tới khi kết quả ổn định.

Để có thể sử dụng tổng hợp các phương pháp khác nhau chúng tôi đã lấy trung bình theo trọng số. Chúng tôi chọn hệ số 1 với phương pháp dựa trên chiều dài dứt gãy, hệ số 2 với phương pháp dựa trên diện dứt gãy và hệ số 3 với phương pháp dựa trên mặt và chuyển dịch dứt gãy hay còn gọi là phương pháp moment động đất. Trên bảng 1 thể hiện kết quả đánh giá động đất cực đại cho dứt gãy F4 với chiều dài 256 km. Chiều rộng dứt gãy 50 km, góc cắm 30 độ, chuyển dịch cực đại đạt 3.7 m tính theo Well - Coppersmith. Giá trị trung bình trọng số tính được là 8.4 với độ lệch chuẩn 0.2. Bằng phép tính tương tự, có thể đánh giá động đất cực đại cho bờ Sông Hồng. Bờ Cửu Long và Nam Côn Sơn là 6.4, bờ Phú Khánh là 6.2.



Hình 4: Sơ đồ dir báo ngập lụt cực đại gãy ra do sóng thần tại thành phố Quang Ngãi  
**DÁNH GIÁ NGUY HIỂM SÓNG THẦN**

Do trạng thái ứng suất kiến tạo trên các bể Bắc bộ, Sông Hồng, Nam Hải Nam, Phú Khanh, Cửu Long và Nâm Côn Sơn là trạng thái ứng suất trượt băng nên không có nguồn sinh ra động đất gây sóng thần. Dải cuốn chìm bắc Borneo cũng bị loại vì không thấy biến dạng kiến tạo hiện đại, vắng mặt hoàn toàn các trận động đất có cơ cấu chấn xiết ép nên chỉ duy nhất có dải cuốn chìm Malina, trong đó có đứt gãy F3-F4 có khả năng phát sinh động đất gây sóng thần lớn nhất trên Biển Đông Việt Nam. Chúng tôi xét trường hợp xấu nhất là động đất xảy ra Trên toàn bộ F3- F4 và độ sâu chấn tiêu là 15 km. Khi đó sử dụng mô hình Okada, có thể đánh giá được biên độ sóng thần lớn nhất 2m ở một số vùng của Quang Ngãi, Đà Nẵng và 1 mét ở Hoàng Sa, Trường Sa. Độ sâu ngập lụt lớn nhất 4-5m xảy ra một số cảng ở Quang Ngãi, Đà Nẵng nhưng diện tích khá hạn chế. độ sâu ngập lụt 2-3 m có thể thấy ở Quang Ngãi, Đà Nẵng, Huế. Sóng thần có thể hình thành do động đất liên quan với núi lửa hoặc trượt đất theo dài đứt gãy 110. Tuy nhiên vẫn đề này cần được nghiên cứu chi tiết trong thời gian tới.

### KẾT LUẬN

Mặc dù mới chỉ qua 4 kỳ đo năm 2007 - 2010, những nét cơ bản về chuyên dịch kiến tạo hiện đại trên Biển Đông Việt Nam đã được xác định với tốc độ đồng ở phía Bắc Biển Đông Việt Nam trong khoảng 80 mm/năm. Hoạt động xiết ép theo phương a vĩ tuyến ở khu vực bắc Biển Đông Việt Nam sẽ cản trở chuyên dịch của các đứt gãy thuận có phương a kinh tuyến và đứt gãy trượt băng phương tây bắc- đông nam. Vai trò của dung độ giữa

mảng Á-Úc đối với mảng Âu Á đóng vai trò chủ đạo đối với biến dạng của Biển Đông Việt Nam. Hướng chuyên dịch thay đổi từ chuyên dịch theo hướng đông đông nam ở phần phía Bắc Biển Đông Việt Nam chuyển sang hướng đông nam ở phần phía Nam Biển Đông Việt Nam. Biến dạng xiết ép giảm ở phần phía Nam Biển Đông Việt Nam. Dải cuồn chìm bắc Borneo không còn hoạt động. Vùng nam và Tây Nam tộc độ biến dạng khá nhỏ, điều này cản khăng định nguy cơ động đất sóng thần lớn nhất trên Biển Đông Việt Nam là dùt gãy ứng với trũng Manilla - Philippin. Dấu hiệu hoạt động của dùt gãy ria Tây Biển Đông Việt Nam không rõ ràng, nếu có thì tốc độ chuyên dịch rất nhỏ.

Trên cơ sở nghiên cứu dùt gãy tre Pliocen- Đệ Tứ, chuyên động kiến tạo hiện đại và trường ứng suất kiến tạo hiện đại có thể thấy trên các bể trong thềm lục địa Việt Nam không phát sinh động đất vượt quá magnitude 6.4 và động đất lớn nhất xảy ra ở đoạn dùt gãy I-4 của dải cuồn chìm Manila có magnitude  $8.4 \pm 0.2$  có thể gây ra sóng thần có độ cao cực đại 2m và độ sâu ngập lụt 4-5 m ở một số vùng thuộc Quảng Ngãi, Đà Nẵng. Sóng thần do núi lửa cản được tiếp tục nghiên cứu.

Có mối quan hệ chặt chẽ giữa trầm tích dưới tự nhiên với hoạt động căng giãn xảy ra cuối Pliocen - đầu Đệ tứ ở bể Sông Hồng và bể Nam Côn Sơn. Trầm tích tự nhiên cũng liên quan với đị thường áp suất, quan sát thấy ở bể Sông Hồng và bể Nam Côn Sơn. Hoạt động kiến tạo tre với việc phát triển một số dùt gãy tre cắt qua tầng Pliocen - Đệ tứ làm phá vỡ tầng chấn cũng ảnh hưởng tới hiện tượng trầm tích tự nhiên. Điều này có thể xảy ra ở bể Sông Hồng, bể Nam Côn Sơn và bể Phú Khanh

#### Lời cảm ơn

Bài viết này là kết quả của đề tài trong điểm cấp nhà nước, KC09.11/06-10, nhiệm vụ bổ sung KC09.11BS/06-10 và hỗ trợ của đề tài nghiên cứu cơ bản mã số: 105.06.36.09.

#### TÀI LIỆU THAM KHẢO

1. Bakiriz H., J. Wang, and Y. Chen (1999); A Regional GPS Network Solution for Monitoring Deformations of the Southeastern Eurasian Plate; GPS Solutions, Vol. 2, No. 4, p. 44-55;
2. Becker M., E. Reinhart, Soeb Bin Nordin, D. Angermann, G. Michel, and C. Reigber (2000); Improving the velocity field in South and South-East Asia: The third round of GEODYSSEA; Earth Planets Space, v. 52, p721-726;
3. Beavan, J., P. Tregoning, M. Bevis, T. Kato, and C. Meertens (2002). Motion and rigidity of the Pacific Plate and implications for plate boundary deformation. J. Geophys. Res., 107(B10), 2261, doi:10.1029/2001JB000282.
4. Boek,Y., L. Prawirodirdjo, J. Genrich, C. Stevens, R. McCaffrey, C. Subarya, S. Puntodewo, and E. Calais (2003). Crustal motion in Indonesia from Global Positioning System measurements. J. Geophys. Res., 108(B8), 2367, doi 10.1029/2001JB000324.
5. Chamote-Rooke, N., and X. L. Pichon (1999). GPS determined eastward Sundaland motion with respect to Eurasia confirmed by earthquake slip vectors at Sunda and Philippine trenches, Earth Planet. Sci. Lett., 173, 439- 455.

6. Duquesnoy, T., O. Bellier, M. Sebrier, M. Kasser, C. Vigny, F. Ego, J. Baha, E. Putranto, and I. Effendi (1999). Geodetic study of a seismic segment of the Great Sumatran Fault (Indonesia). *Bull. Soc. Geol. France*, 170(1), 25-30.
7. England, P., and G. Houseman (1986). Finite strain calculations of continental deformation: 2. Comparison with the India-Asia collision zone. *J. Geophys. Res.*, 91(B3), 3664-3676.
8. Galgana G., M. Hamburger, R. McCaffrey, E. Corpuz, Q. Chen , 2007. Analysis of crustal deformation in Luzon, Philippines using geodetic observations and earthquake focal mechanisms. *Tectonophysics* 432 (2007) 63-87
9. Gan W., Zhang P., Shen Z., K., Niu Zh., Wang M., Wan Y., Zhou D., Cheng . 2007. Present-day crustal motion within the Tibetan Plateau inferred from GPS measurements. *J. VOI* 112, B08416, doi:10.1029/2005JB004120
10. Iwakuni, M., T. Kato, H. Takiguchi, T. Nakagawa, and M. Satomura (2001). Crustal deformation in Thailand and tectonics of Indochina peninsula as seen from GPS observations. *Geophys. Res. Lett.*, 31, L11612, doi:10.1029/2004GL020347.
11. King, R., F. Shen, B. Burchfiel, L. Royden, E. Wang, Z. Chen, Y. Liu, X. Zhang, J. Zhao, and Y. Li (1997). Global Positioning System measurements from eastern Tibet and their implications for India/Eurasia intercontinental deformation. *Geology*, 25(2), 179-182.
12. Leloup, P., R. Lacassin, P. Tappognier, U. Schärer, D. Zhong, X. Liu, L. Zhang, S. Ji, and Phan Trong Trinh (1995). The Ailaoshan-Red River shear zone (Yunnan, China). Tertiary transform boundary of Indochina. *Tectonophysics*, 251(1-4), 3 - 84.
13. McCaffrey, R. (1991). Slip vectors and stretching of the Sumatran fore arc. *Geology*, 19(9), 881- 884.
14. McCaffrey, R., P. Zwick, Y. Bock, L. Prawirodirdjo, J. Genrich, C. Stevens, S. Puntodewo, and C. Subarya (2000). Strain partitioning during oblique plate convergence in northern Sumatra: Geodetic and seismologic constraints and numerical modeling. *J. Geophys. Res.*, 105(B12), 28,363-28,376.
15. Michel, G. W., M. Becker, D. Angermann, C. Reigber, and E. Reinhart (2000). Crustal motion in E- and SE-Asia from GPS measurements. *Earth Planets Space*, 52(10), 713-720.
16. Michel, G., et al. (2001). Crustal motion and block behaviour in SE-Asia from GPS measurements. *Earth Planet. Sci. Lett.*, 187, 239- 244.
17. Ngô Văn Liêm, Phan Trọng Trịnh, Nguyễn Tuấn Anh, Hoàng Quang Vinh 2008. Ứng dụng công nghệ GPS trong việc xác định chuyển dịch kiến tạo hiện đại, biến dạng mặt đất và công trình, Địa Kỹ Thuật, Năm thứ 12, số 2.
18. Nguyễn Đình Xuyên & nnk., Nghiên cứu đáng giá độ nguy hiểm sóng thần ở vùng biển Việt Nam và đề xuất các giải pháp phòng tránh. "Báo cáo tổng kết đề tài cấp Viện KHCN&CNX" (2007)..

19. Nguyễn Hồng Phương. 2004. "Bản đồ độ nguy hiểm động đất Việt Nam và Biển Đông Tự Các khoa học về Trái đất", v 26(2) tr 97-111.
20. Niu Z., Wang M. Et al. Contemporary velocity field of crustal movement of Chinese mainland from Global Positioning System measurements, Chinese Science Bulletin 2005, 50, 1-3.
21. Phạm Văn Thực và Nguyễn Thị Kim Thanh. 2004. "Phân vùng động đất khu vực Biển Đông Việt Nam và ven bờ". TC Địa chất, loạt A, số 285 (11-12).
22. Phan Trọng Trịnh, Ngô Văn Liêm, Vy Quốc Hải, Trần Dinh Tô, Nguyễn Văn Hướng, Hoàng Quang Vinh, Bùi Văn Thơm, Nguyễn Đăng Túc, Nguyễn Quang Xuyên, Vũ Tuấn Hùng, Nguyễn Huy Thịnh, Trần Quốc Hùng, Lê Minh Tùng, Đinh Văn Thể, Bùi Thị Thảo, Nguyễn Việt Tiên và Nguyễn Tuấn Anh. (2009). Kết quả ban đầu về tốc độ chuyển dịch kiến tạo hiện đại trên Biển Đông. Tạp chí Địa chất số: 310/1-2
23. Peltzer, G., and F. Saucier (1996), Present-day kinematics of Asia derived from geologic fault rates, J. Geophys. Res., 101, 27,943-27,956.
24. Prawirodirdjo, L., and Y. Bock (2004). Instantaneous global plate motion model from 12 years of continuous GPS observations, J. Geophys. Res., 109, B08405, doi 10.1029/2003JB002944.
25. Prawirodirdjo, L., et al (1997), Geodetic observations of interseismic strain segmentation at the Sumatra subduction zone, Geophys. Res. Lett., 24(21), 2601-2604
26. Rangin, C., X. L. Pichon, S. Mazzotti, M. Pubellier, N. Chamot-Rooke, M. Aurcelio, A. Walpersdorf, and R. Quebral (1999), Plate convergence measured by GPS across the Sundaland/Philippine Sea plate deformed boundary: The Philippines and eastern Indonesia, Geophys. J. Int., 139, 296- 316.
27. Replumaz, A., R. Lacassin, P. Tapponnier, and P. Leloup (2001), Large river offsets and Plio-Quaternary dextral slip rate on the Red River fault (Yunnan, China), J. Geophys. Res., 106(B1), 819- 836.
28. Shen, Z.-K., C. Zhao, A. Yin, Y. Li, D. D. Jackson, P. Fang, and D. Dong (2000). Contemporary crustal deformation in east Asia constrained by Global Positioning System measurements, J. Geophys. Res., 105(S), 721-734.
29. Shen, Z. K., J. Lu, M. Wang, and R. Burgmann (2005), Contemporary crustal deformation around the southeast borderland of the Tibetan Plateau, J. Geophys. Res., 110, B11409, doi:10.1029/2004JB003421.
30. Simons, W. J. F., B. A. C. Ambrosius, R. Noomen, D. Angermann, P. Wilson, M. Becker, E. Reinhart, A. Walpersdorf, and C. Vigny (1999), Observing plate motions in S. E. Asia: Geodetic results of the GEODYSSSEA project, Geophys. Res. Lett., 26(14), 2081- 2084.
31. Simons, W. J. F., A. Socquet, C. Vigny, B. A. C. Ambrosius, S. Haji Abu, Chaiwat Promthong, C. Subarya, D. A. Sarsito, S. Matheussen, P. Morgan, and W. Spakman,

2007. A decade of GPS in Southeast Asia: Resolving Sundaland motion and boundaries. *J. Geophys. Res.*, VOL. 112, B06420, doi:10.1029/2005JB003868.
32. Soequet, A., W. Simons, C. Vigny, R. McCaffrey, C. Subarya, D. Sarsito, B. Ambrosius, and W. Spakman (2006a). Microblock rotations and fault coupling in SE Asia triple junction (Sulawesi, Indonesia) from GPS and earthquake slip vector data. *J. Geophys. Res.*, 111, B08409, doi:10.1029/2005JB003963.
33. Soequet, A., C. Vigny, N. Chamot-Rooke, W. Simons, C. Rangin, and B. Ambrosius (2006b). India and Sunda plates motion and deformation along their boundary in Myanmar determined by GPS. *J. Geophys. Res.*, 111, B05406, doi:10.1029/2005JB003877.
34. Tappoulier, P., G. Peltzer, A. Y. Leduc, R. Armijo, and P. Cobbold (1982). Propagating extrusion tectonics in Asia—New insights from simple experiments with plasticine. *Geology*, 10(12), 611- 616.
35. Trần Định Tô, Nguyễn Trọng Yêm (2004): Chuyển động hiện đại vỏ Trái đất lãnh thổ Việt Nam theo số liệu đo GPS. *Tạp chí các khoa học về Trái đất*; 26(4).12/2004, tr.579- 586, Hà Nội
36. Vigny, C., A. Soequet, C. Rangin, N. Chamot-Rooke, M. Pubellier, M.-N. Bouin, G. Bertrand, and M. Becker (2003). Present day crustal deformation around Sagang Fault, Myanmar. *J. Geophys. Res.*, 108(B11), 2533, doi:10.1029/2002JB001999.
37. Vigny, C., et al. (2005). Insight into the 2004 Sumatra-Andaman earthquake from GPS measurements in southeast Asia. *Nature*, 436, 201-206, doi:10.1038/nature03937.
38. Vũ Thành Ca chủ biên. Các kinh báu cảnh báo sóng thần trên Biển Đông. "Báo cáo dự án Nâng dung bám đỡ cảnh báo nguy cơ sóng thần cho các vùng bờ biển Việt Nam". Viện KTTV & MTT - Bô TN-MT, (2008).
39. Vy Quốc Hải (2004): So sánh kết quả xử lý số liệu GPS của luồng địa động lực bằng phần mềm GPSurvey 2.35 và Bernese 4.2. *Tạp chí các khoa học về Trái đất*; 26(4).12/2004, tr 418-425, Hà Nội.
40. Vy Quốc Hải (2007). Kết quả bước đầu xác định chuyển động vỏ Trái đất bằng số liệu GPS vùng lân cận chấn động đất Sumatra ngày 26/12/2004. *Tạp chí Địa chất*; số A, số 302, 9-10/2007, tr.1-9.
41. Wang, Q., et al. (2001). Present-day crustal deformation in China constrained by Global Positioning System measurements. *Science*, 294, 574- 577.
42. Zhang, P., Z. Shen, M. Wang, W. Gan, R. Burgmann, P. Molnar, Q. Wang, Z. Niu, J. Sun, J. Wu, H. Sun, and X. You (2004). Continuous deformation of the Tibetan Plateau from Global Positioning System data. *Geology*, 32, 809-812.